ESTUDO DE CASO: ANÁLISE TEÓRICA E NUMÉRICA DE FABRICAÇÃO DE UM CHASSI DE SEMIRREBOQUE VIA ABORDAGEM POR ELEMENTOS FINITOS

Professor Orientador: Bruno dos Santos Victor Pereira DITOS victorditos@hotmail.com

RESUMO

O setor logístico nacional apresenta um crescimento constante, com alta demanda por equipamentos de transporte e com o uso extensivo de caminhões e de semirreboques como plataformas de transporte. Os semirreboques desempenham uma parte importante no transporte de cargas indivisíveis, entretanto, a baixa qualidade da malha rodoviária nacional e os altos custos do setor logístico fazem com que o mercado selecione equipamentos de qualidade, confiabilidade e baixo custo. Para atingir essa demanda, os fabricantes de semirreboques buscam métodos mais eficientes e baratos para avaliar a confiabilidade da estrutura. Com esse propósito se faz necessário o uso de ferramentas computacionais, o que inclui softwares de modelagem 3D e simulação numérica para o desenvolvimento de projetos, sendo que estes devem ser assistidos por técnicos com experiência em simulação computacional, capazes de prover um respaldo técnico acerca da segurança, contra falhas estruturais e também no desenvolvimento de equipamentos otimizados, entregando produtos mais baratos e eficientes e consequentemente mais competitivos. Deste modo, o objetivo deste trabalho é o desenvolvimento de um projeto, por intermédio de análise teórica e numérica de um chassi de semirreboque do tipo carrega tudo, que será aplicado na região oeste do Paraná utilizando para tal, o método dos elementos finitos para a avaliação da estrutura, auxiliada por uma modelagem 3D da estrutura feita utilizando o software Solidedge e uma simulação utilizando o software Ansys.

Palavras Chave: Semirreboque, Solidedge, chassi, elementos finitos, Ansys.

1. INTRODUÇÃO

O setor rodoviário brasileiro detém grande importância tanto no transporte de pessoas quanto no transporte de mercadorias. Dentre os modais de transporte presentes no Brasil, destacam-se quatro grandes principais: o modal ferroviário, aéreo, marítimo e rodoviário, sendo o último, o mais utilizado no país. Segundo dados da Confederação Nacional dos Transportes (CNT, 2019), esse modal corresponde a 60% do transporte de carga e passageiros, no entanto, apenas 12,4% da malha rodoviária é pavimentada.

Essa dependência afeta diretamente o setor agrícola, já que a maior parte do escoamento da produção e o recebimento de insumos agrícolas é realizado por intermédio de rodovias (SANTOS, 2021). Além da falta de pavimentação, outro fator que prejudica a fluidez nas rodovias é o tráfego de veículos e equipamentos pesados e de excesso lateral, que desenvolvem baixas velocidades nas rodovias. (MACEDO et *al.*, 2015) aponta que a maioria dos acidentes envolvendo equipamentos agrícolas foram causados por colisão traseira, diretamente relacionado à baixa velocidade que esses equipamentos desenvolvem nas rodovias.

A resolução nº 429/2012 do conselho nacional de trânsito (CONTRAN, 2013), restringiu o livre tráfego de equipamentos agrícolas e de excesso lateral, permitindo a circulação de veículos não articulados sem uma autorização especial de trânsito, apenas veículos cuja as dimensões são pré-estabelecidas na resolução.

Tal restrição contribuiu para que o mercado de semirreboques sofresse um crescimento elevado ao longo dos anos. Segundo dados da Associação Nacional dos Fabricantes de Implementos Rodoviários (ANFIR, 2021), a indústria de implementos rodoviários encerrou o ano de 2021 com um crescimento de aproximadamente 34 % nas entregas de equipamentos para transbordo de cargas em relação a 2020. Segundo PEREIRA (2016), o uso dos semirreboques é de grande relevância no transporte de cargas, principalmente no transporte de cargas indivisíveis.

Com o crescimento das vendas de semirreboques, evidencia-se o surgimento de falhas e eventuais quebras no equipamento (KÖHLER, 2018). Entretanto, com o desenvolvimento dos processos de fabricação e o surgimento de novas ferramentas computacionais, o mercado passou a exigir maior qualidade, confiabilidade e durabilidade desses equipamentos para justificar o seu investimento. Uma das estratégias utilizadas para auxiliar no desenvolvimento de projetos, é o uso de softwares CAE e metodologias de simulação de análise de estruturas, em qual é possível desenvolver propostas mais precisas, estruturas mais otimizadas e resistentes (LEANDRO, 2019).

Desta forma, o objetivo deste estudo é desenvolver o plano estrutural de um chassi de semirreboque via elementos finitos. Para isso, será realizado uma análise teórica dos componentes estruturais que o compõem, utilizando o software Solidedge versão estudante para a modelagem da estrutura, levando em consideração as normas de trânsito vigentes para a delimitação do planejamento e uma análise numérica, utilizando o software Ansys para a avaliação estrutural.

2. REFERENCIAL TEÓRICO

2.1 OS SEMIRREBOQUES E A LEGISLAÇÃO

A resolução Nº 882 do CONTRAN (2021), define semirreboque como um veículo de um ou mais eixos que se apoia na sua unidade tratora ou a ela é ligado por meio de articulação, como exemplifica a figura 1.

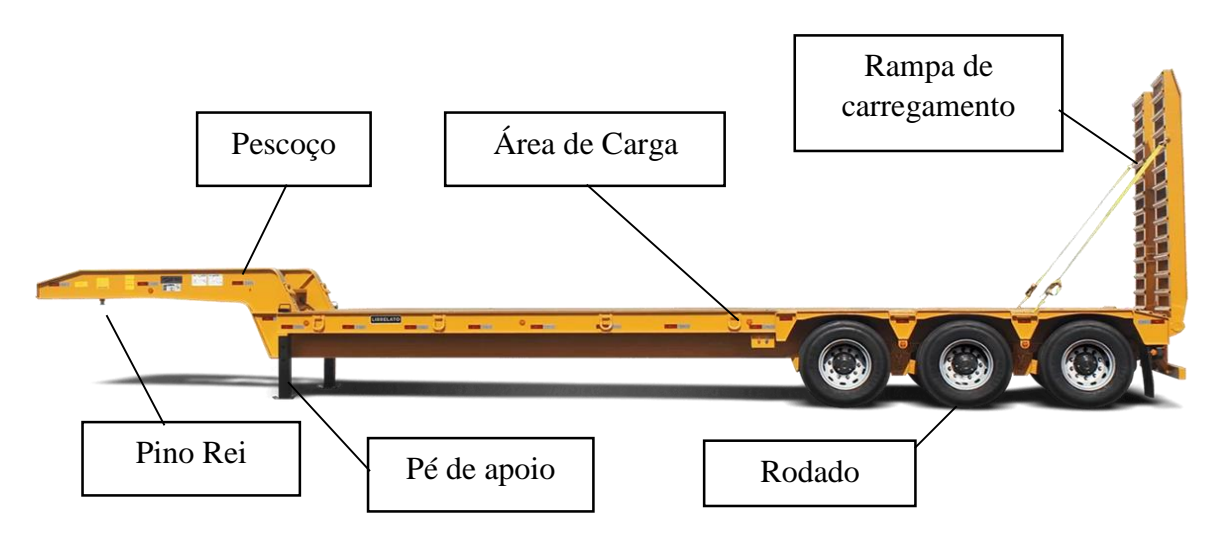


Figura 1: Exemplo de semirreboque

Fonte: Adaptado de Librelato (2021).

Um semirreboque convencional é constituído por um rodado, composto pelo conjunto da suspensão, das rodas e dos pneus. O acoplamento do semirreboque com o cavalo mecânico é feito através do pino rei, que faz o acoplamento com a quinta roda do cavalo mecânico. Os pés de apoio auxiliam na sustentação do semirreboque na sua posição de descanso, enquanto o mesmo não está acoplado ao cavalo mecânico. O pescoço é a estrutura que recebe o pino rei, faz o acoplamento com o cavalo mecânico e abriga o estepe do implemento. Enquanto a rampa de carregamento, tem como objetivo auxiliar o equipamento a ser transportado subir até a área de carga, local em que fica disposta toda a carga a ser transportada. (BENNETT e NORMAN, 2011).

Para a homologação de um semirreboque, o fabricante deve obter o certificado de Adequação da Legislação de Trânsito (CAT), permitindo o registro e licenciamento de veículos junto aos órgãos executivos de trânsito (CONTRAN, 2021). Esta resolução, define as dimensões máximas regulamentares para veículos articulados com duas unidades, de acordo com a tabela 1, sendo que o comprimento máximo depende do tipo de veículo e da sua composição.

Tabela 1: Dimensões máximas regulamentares para veículos articulados

Dimensão	Valor	Unidade
Comprimento	18,6	m
Largura	3,2	m
Altura	4,40	m

Fonte: Adaptado de CONTRAN (2021).

Quanto à carga máxima, define-se que, o peso bruto total combinado (PBTC), para combinações de veículos articulados com duas unidades do tipo caminhão-trator e semirreboque com eixos distanciados, com comprimento total igual ou superior a 16 m, é de 54,5 toneladas. No entanto, se por algum motivo o veículo ou conjunto articulado forem incapazes de entrar nessa regulamentação, o proprietário deverá solicitar uma autorização especial de trânsito (CONTRAN, 2021). Conhecendo as dimensões máximas, se faz necessário o detalhamento da estrutura de um semirreboque.

2.2 A ESTRUTURA DE UM SEMIRREBOQUE

A concepção geral de um semirreboque é dada por duas longarinas principais; longarinas laterais e pelas travessas, como exibe a figura 2.

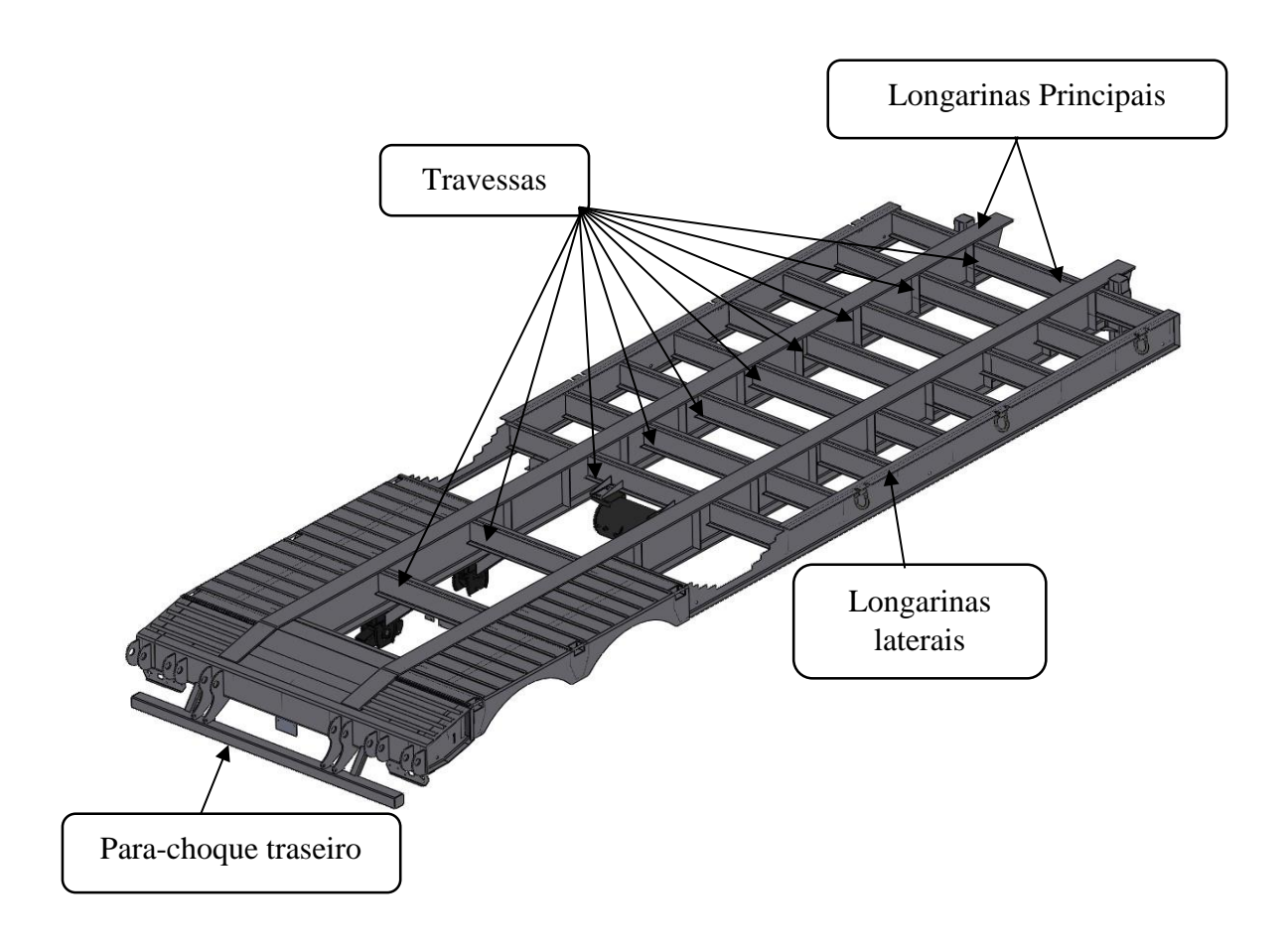


Figura 2: Concepção geral de um semirreboque

Fonte: Autoria própria (2022).

As longarinas principais são responsáveis pelo acoplamento do conjunto da suspensão, e também, por suportar a maior parte da carga aplicada no equipamento. Enquanto as longarinas laterais delimitam a largura máxima do implemento e servem como ponto de apoio para os

suportes de ancoragem da carga. Já as travessas, são responsáveis por manter a estrutura do chassi rígido e evitar a flexão do mesmo (BENNETT e NORMAN, 2011). Todavia, além de uma estrutura rígida, todo semirreboque deve possuir um para-choque traseiro, que é um dispositivo de segurança fixado ao semirreboque com o objetivo de reduzir os danos materiais e físicos causados por uma eventual colisão traseira, de acordo com a resolução Nº 952 (CONTRAN, 2021).

Geralmente, os perfis utilizados possuem secção transversal do tipo U ou do tipo W, como representado pela figura 3 (BENNETT e NORMAN, 2011).

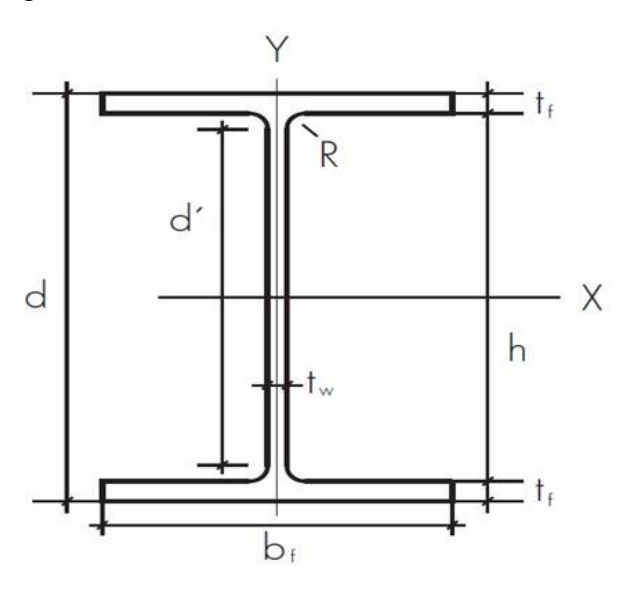


Figura 3: Ilustração de Perfil W

Fonte: Adaptado de Gerdau (2015).

Sendo que "d" expressa a altura do perfil, "d" a altura livre da alma, "h" a altura interna, "br" a largura da aba do perfil, "tr" a espessura da aba, "tw" a espessura da alma, e "R" representa o raio de concordância do perfil. A estrutura dos chassis deve ser capaz de resistir a esforços de flexão, torção, elevados ciclos de carga, vibrações e choques nos quais eles encontrarão durante a sua vida útil (BENNETT e NORMAN, 2011).

As longarinas do chassi apresentadas na figura 2, são responsáveis por suportar as cargas verticais e representam a região em que a suspensão do equipamento é instalada, devendo possuir uma alta rigidez flexional. Enquanto as travessas são dimensionadas para interligar as longarinas, e são responsáveis por diminuir a torção em torno do eixo longitudinal da estrutura (BENNETT e NORMAN, 2011). As longarinas possuem a função de reduzir a tensão torsional, transmitida de uma longarina para a outra, além de contribuírem para a distribuição dos esforços

gerados pela carga ao longo da estrutura. Tanto as longarinas quanto as travessas podem ser fabricadas por processo de conformação mecânica.

O chassi de um semirreboque experimenta uma amplitude elevada de vibrações devido às irregularidades da pista de rodagem durante a sua vida útil de serviço. Essas vibrações aumentam a probabilidade de falhas estruturais causadas por fadiga, reduzindo drasticamente a vida útil do equipamento. A mecânica estática não é capaz de prever este tipo de comportamento estrutural com exatidão, portanto, recomenda-se que, estruturas dinâmicas sejam analisadas através de outras abordagens (LENA, 2019). Como por exemplo, a mecânica da fratura linear elástica (MFLE) ou o método dos elementos finitos (MEF).

2.4 MÉTODO DOS ELEMENTOS FINITOS

Inicialmente, o uso do método dos elementos finitos era voltado apenas para análises lineares da mecânica dos sólidos. Mas com o aprimoramento das ferramentas de cálculo, se tornou possível realizar também, as análises dinâmicas e análises não-lineares. Com o surgimento das interfaces gráficas mais amigáveis e intuitivas, e que estão presentes nos softwares de simulação popularizaram também a utilização deste método (AZEVEDO, 2003). Grande parte desses softwares utilizam o MEF como o seu método de cálculo, e o seu aprimoramento vem auxiliando na obtenção de análises de estruturas complexas e no diagnóstico de problemas estruturais como apresentado na figura 4 (MIRLISENNA, 2016).

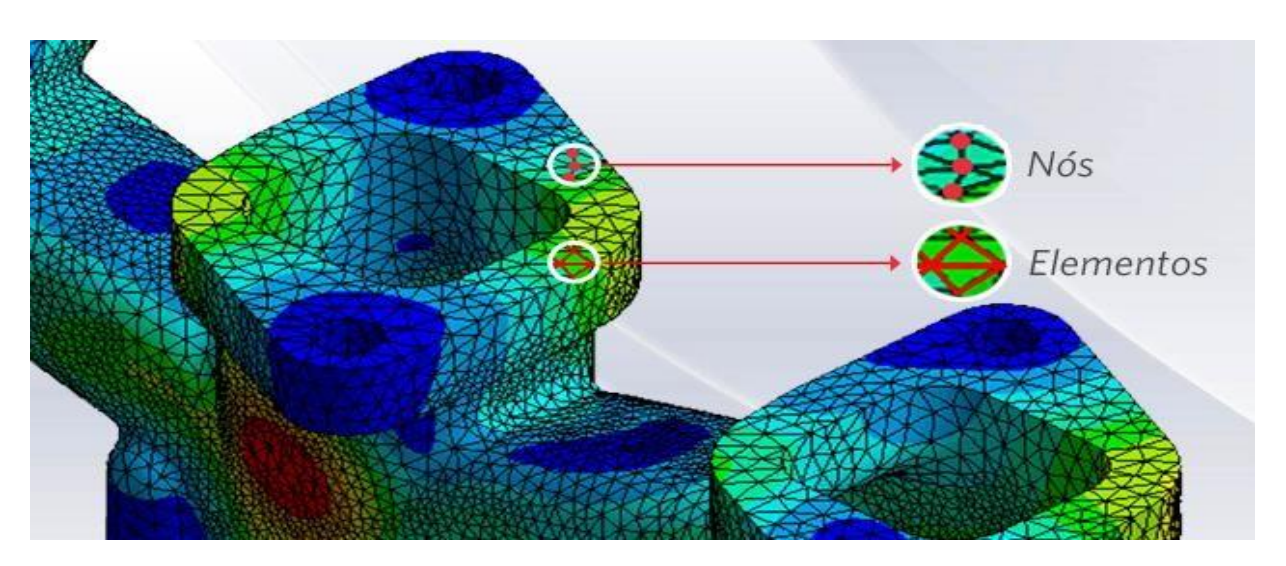


Figura 4 - Exemplo de malha composta por elementos e nós

Fonte: ESSS (2016).

O método dos elementos finitos divide a geometria a ser analisada em finitos pontos, chamados de elementos de comportamento bem definidos, interligado por pontos chamados de

nós, conforme a figura 4. O conjunto de todos esses elementos agrupados é intitulado como malha, sendo que a estrutura deste estudo pode ser representada por elementos do tipo 2D (MIRLISENNA, 2016).

2.4.1 ELEMENTOS FINITOS DO TIPO 2D

A abordagem por elementos do tipo plano, é utilizada quando o corpo a ser analisado possui duas das suas três dimensões muito superiores em relação à sua terceira dimensão, sendo exemplo, os corpos analisados a partir de uma chapa metálica, apresentados na figura 5, em que possui o comprimento e largura representados pelos eixos x e y, muito superiores em relação a sua espessura (PUC RIO, 2019).

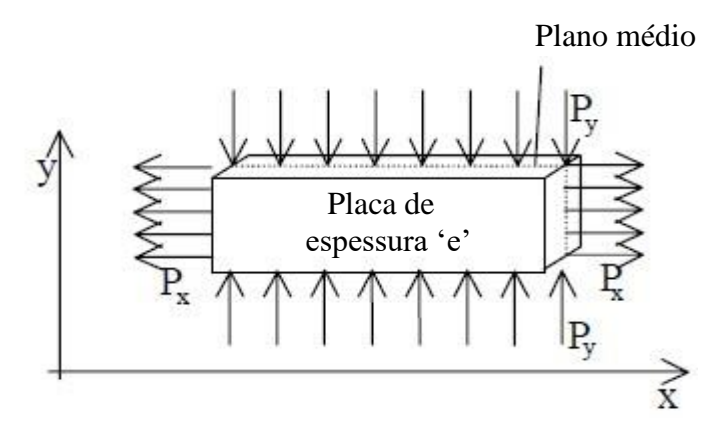


Figura 5: Placa de espessura 'e' solicitada por forças externas atuando em seu plano médio

Fonte: PUC RIO (2019).

Este tipo de abordagem, coincide com os elementos presentes na estrutura analisada nesta tese quando o chassi do semirreboque é constituído, em sua maioria, por perfis estruturais de viga e por chapas metálicas.

Para uma análise de elementos finitos, é necessária uma equação que irá descrever a função de forma. Estas funções variam conforme a ordem e o formato de cada elemento, podendo ser de primeira ou segunda ordem bem como triangular ou quadrado, quando referentes a elementos planos (ALVES, 2012). Dependendo do tipo de estrutura ou geometria que está sendo avaliada, é possível ter mais de um tipo de abordagem devido ao tamanho da estrutura, ou da sua complexidade, onde é necessária uma análise geral da estrutura e uma análise de pontos críticos, que é a abordagem realizada pela análise global-local.

2.4.2 ANÁLISE GLOBAL-LOCAL

A técnica de análise global-local, consiste em uma abordagem inicial do problema como um todo, de maneira mais ampla e sem detalhar pontos específicos. Nesta primeira análise global, já é possível apontar possíveis pontos críticos na malha de contorno que exigem uma maior atenção. Esses pontos são evidentes principalmente em regiões de descontinuidade da geometria, conforme a figura 6, causando uma zona de concentração de tensão (KÖHLER, 2018).

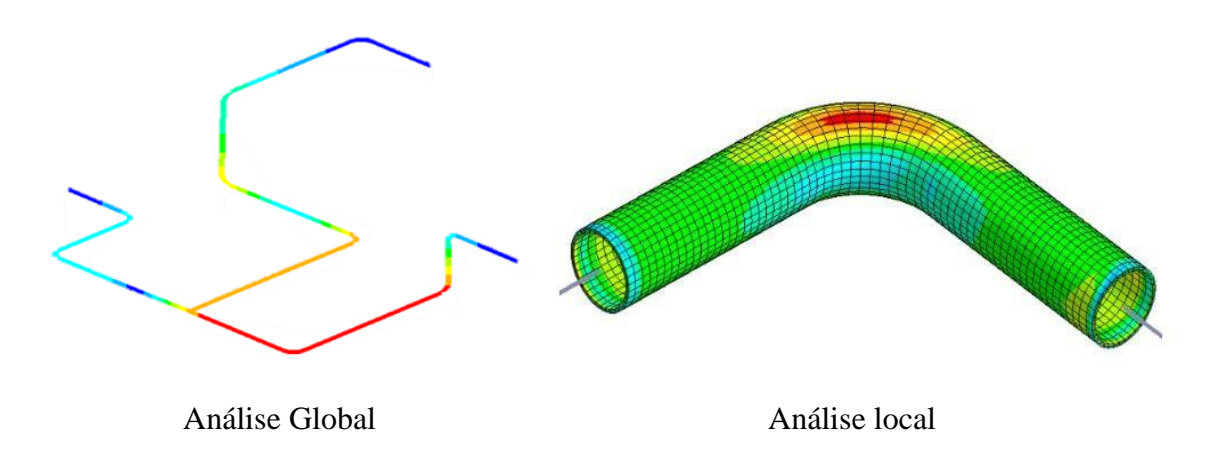


Figura 6: Exemplo de Análise Global-Local em uma tubulação

Fonte: ESSS (2016).

Desta forma, se torna interessante que o problema seja abordado através de uma análise local, refinando a malha de maneira que o número de nós seja maior nesse espaço, com o objetivo de obter resultados mais precisos (ALTAIR, 2015). No mercado existem vários softwares que disponibilizam esse tipo de análise dentre eles há o Ansys, o qual será utilizado nesta análise, sendo que, a escolha deste software se deu por recomendação do orientador da pesquisa, e pelo de fato de existir uma versão de estudante gratuita.

2.4.3 ANSYS

O pacote de software de análise estrutural da Ansys conta com ferramentas de análise de elementos finitos (FEA), tornando possível personalizar e automatizar suas simulações analisando vários cenários de projetos. A ferramenta conecta-se facilmente a outras ferramentas de análise de física, proporcionando ainda maior realismo na previsão do comportamento e desempenho de produtos complexos (ESSS, 2022).

3. METODOLOGIA CIENTÍFICA

3.1- PROJETO GEOMÉTRICO DO CONJUNTO IMPLEMENTO

Antes do desenvolvimento do modelo estrutural do semirreboque foi elaborado um préprojeto do equipamento, exemplificando as suas dimensões totais para que elas estejam de acordo com a resolução Nº 882 do CONTRAN. A figura 7 é composta pelo pré-projeto em 2D com suas respectivas dimensões dispostas na tabela 2.

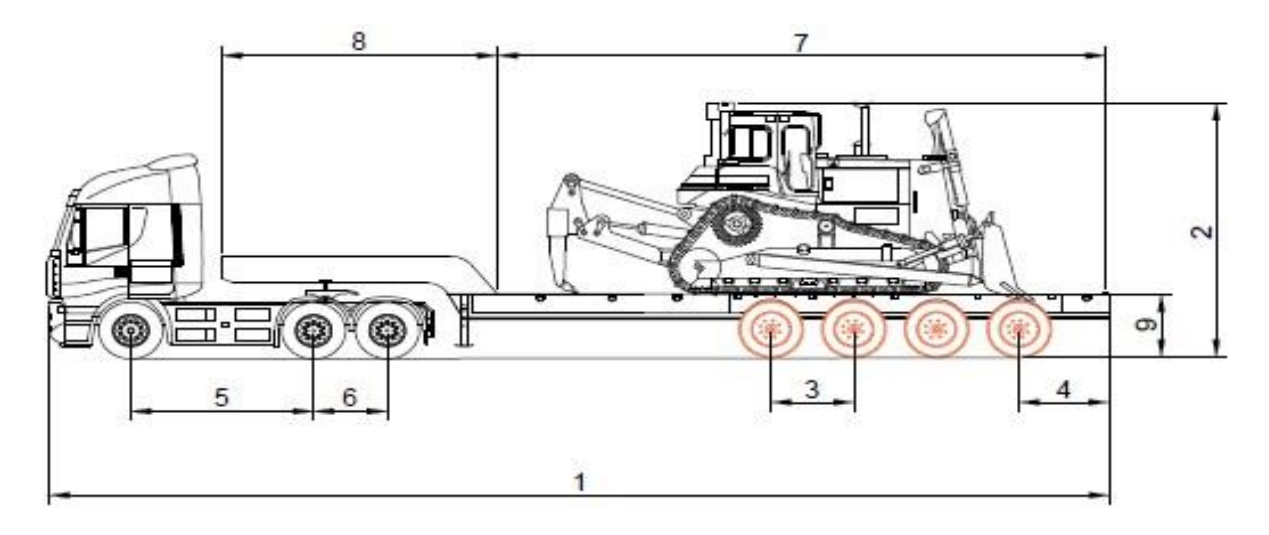


Figura 7 – Pré-projeto do conjunto semirreboque e cavalo mecânico

Fonte: Autoria própria (2022).

Tabela 2: Dimensões do projeto 2D

Dimensão	Valor	Unidade
1	17,5	m
2	4,6	m
3	1350	mm
4	1,5	m
5	3	m
6	1370	mm
7	10	m
8	4,5	m
9	1180	mm

Fonte: Autoria própria (2022).

A figura 7 é composta por um cavalo mecânico, responsável por tracionar o conjunto, que seria o semirreboque, objeto deste escrito, e também a carga, sendo representada pelo trator Caterpillar modelo D8 que será detalhado posteriormente na figura 8. Para a aplicação dos carregamentos é necessário primeiro determinar os carregamentos que estarão atuando na estrutura do semirreboque.

3.2- DETERMINAÇÃO DOS CARREGAMENTOS

Neste planeamento, realiza-se a análise de cargas na qual utiliza-se um equipamento que necessita de um semirreboque como transporte para que possa ser deslocado pelas rodovias. O equipamento consiste em um trator de esteira usado para trabalhos em campo, como observa-se na figura 8.

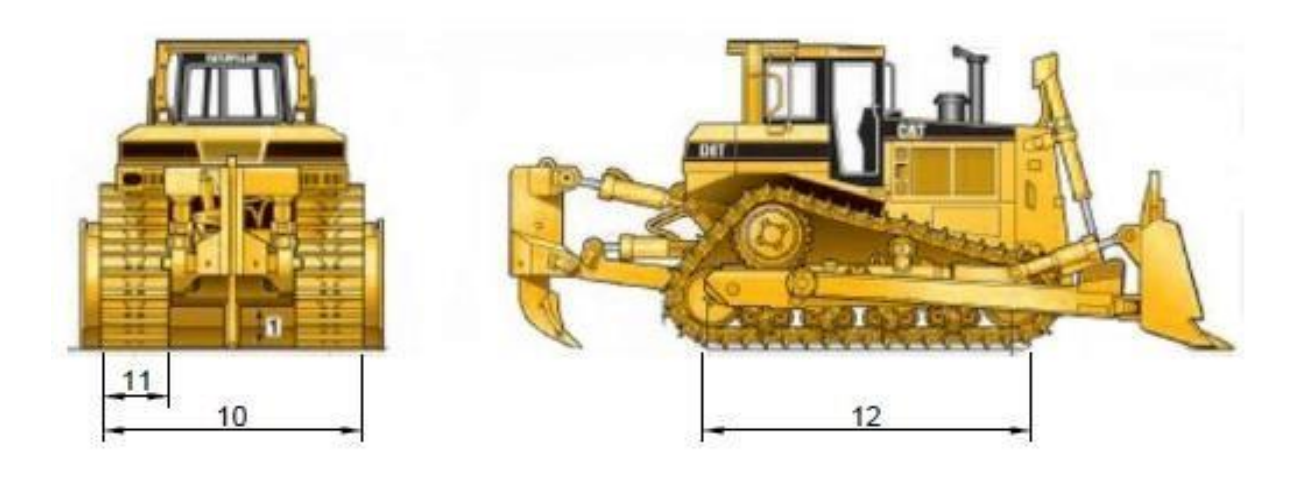


Figura 8: Dimensões do trator de esteira Caterpillar modelo D8

Fonte: adaptado de Caterpillar (2022).

O seu deslocamento por meios próprios pode causar transtornos nas vias públicas por conta da sua baixa velocidade de rodagem e peso próprio elevado. Segundo o fabricante do equipamento, o peso operacional do D8 é de 38834 kg e suas dimensões são disponibilizadas pelo fabricante na tabela 3.

Tabela 3: Dimensões do trator Caterpillar modelo D8

Dimensão	Valor	Unidade
10	2642	mm
11	562	mm
12	3207	mm

Fonte: adaptado de Caterpillar (2022).

Para a determinação dos carregamentos, será utilizado a carga do equipamento fornecida pelo catálogo do fabricante conforme a figura 8. A carga será dividida por dois, pois o equipamento possui dois pontos de contato com o semirreboque, que são as esteiras do equipamento. A figura 9 apresenta o diagrama de forças aplicadas ao conjunto.

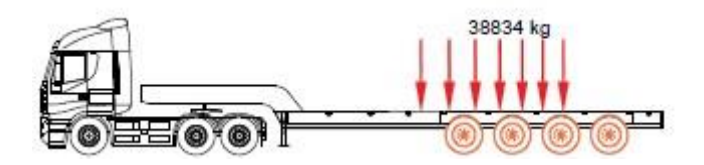


Figura 9: Diagrama de forças aplicadas ao semirreboque

Fonte: Autoria própria (2022).

O implemento em questão possui dois pontos de contato com a superfície representado pelas suas esteiras, os quais vão distribuir toda a carga do equipamento para o semirreboque. Desta forma, a carga aplicada ao semirreboque proveniente da massa do trator será distribuída em duas regiões de mesma área obtidas pela multiplicação das dimensões 11 e 12 da figura 8. A figura 10 expõe as duas regiões em uma vista superior onde a carga será aplicada no semirreboque.

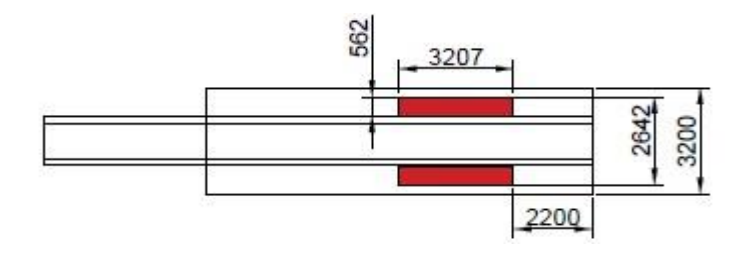


Figura 10: Regiões de aplicação de carga no semirreboque

Fonte: Autoria própria (2022).

Com as informações apresentadas pode-se definir os parâmetros a serem introduzidos no software de simulação, definidos pela tabela 4.

Tabela 4: Base de dados para a simulação

Parâmetro	Equação	Valor	Unidade
Área de aplicação de	A = b * h	1,80	m^2
Força	F = m * g	380,96	kN
Tensão aplicada	$\sigma = F/A$	0,10585	МРа

Fonte: Autoria própria (2022).

Portanto, para os parâmetros de simulação será aplicado uma tensão de 0,10585 MPa em duas regiões de 1,80 m² no semirreboque.

3.3– SIMULAÇÃO VIA METODOLOGIA DOS ELEMENTOS FINITOS

Baseando-se nas informações anteriormente coletadas, foi concebido um modelo 3D do semirreboque utilizando o software Solidedge versão estudante. A modelagem realizada não tem como objetivo trazer todos os elementos que compõem um semirreboque, mas sim os elementos estruturais que compõem o equipamento como demonstra a figura 11.

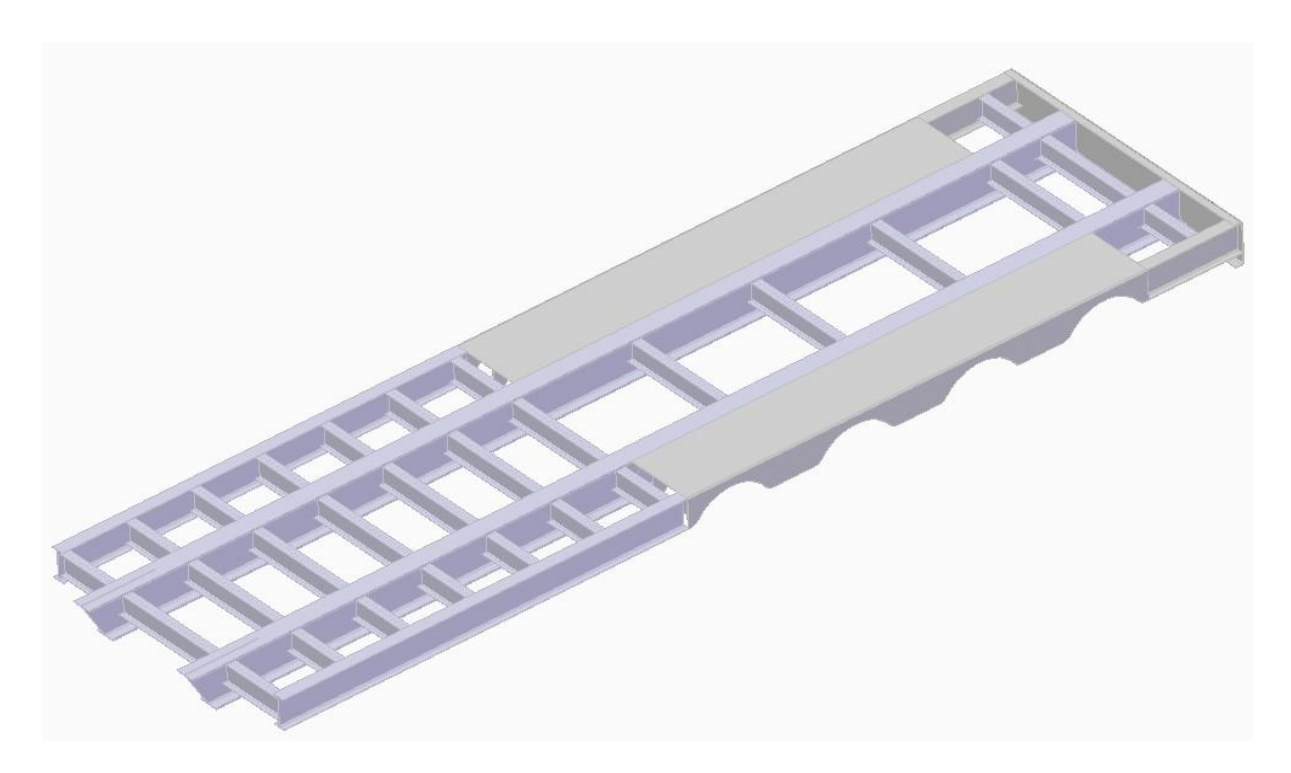


Figura 11: Estrutura do semirreboque modelado no Solidedge

Fonte: Autoria própria (2022).

Neste estudo serão analisadas duas situações para a simulação da estrutura, a saber: Na primeira simulação, a carga será aplicada na estrutura somente com os elementos principais, enquanto que na segunda simulação, serão introduzidos reforços estruturais a fim de verificarse o quão eficiente é a sua implementação na estrutura. Ao final da simulação é apresentado uma tabela com o resultado da deformação da estrutura para os dois cenários. A estrutura do semirreboque com e sem reforços que estão representadas nas figuras 12 e 13 respectivamente.

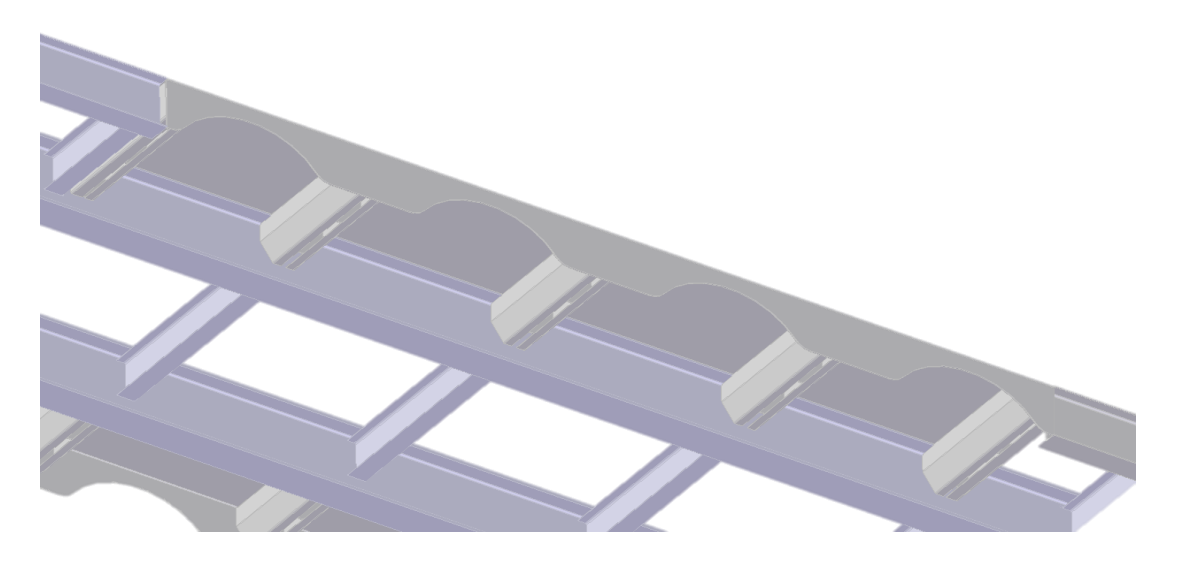


Figura 12: Estrutura do semirreboque sem reforços estruturais

Fonte: Autoria própria (2022).

Legenda

1 _ Cantoneira

2 _ Mão francesa

3 _ Chapa lisa

Figura 13: Estrutura do semirreboque com reforços estruturais

Fonte: Autoria própria (2022).

A figura 13 apresenta os pontos na área que foi introduzido os reforços na estrutura. Estes reforços têm como objetivo atenuar a deformação na estrutura, principalmente nas regiões mais distantes dos pontos de apoio. Para que sejam aplicadas as cargas, é necessário definir os pontos de engastamento da estrutura, os quais representam regiões na estrutura com restrições de movimento necessário para que o cálculo computacional possa ser realizado. A figura 14 apresenta pontos de apoio que representam a ligação que a estrutura tem com o suporte da suspensão conforme a figura 15.

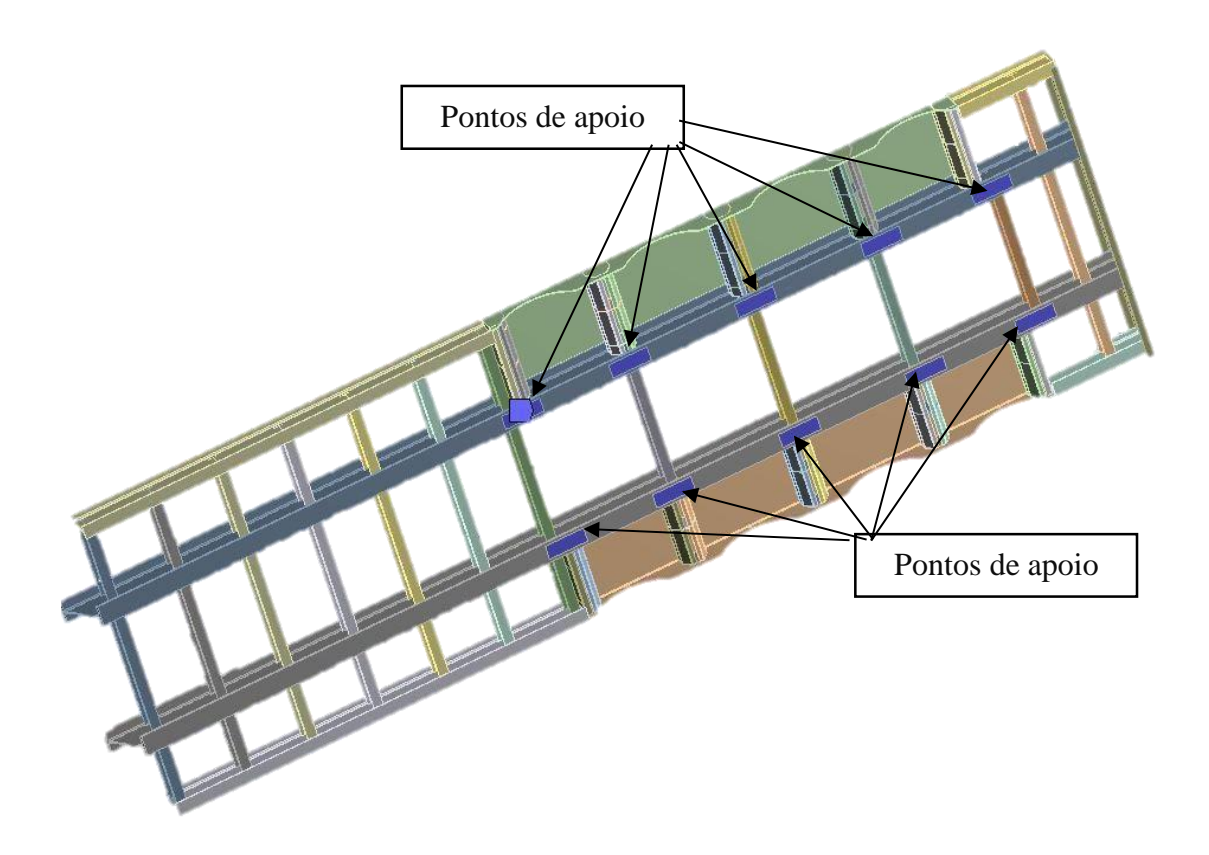


Figura 14: Pontos de apoio da estrutura dentro do ambiente de simulação

Fonte: Autoria própria (2022).

Definiu-se os pontos de apoio da estrutura na região, onde a ligação do suporte da suspensão é feita com a estrutura do semirreboque como evidenciado na figura 15.

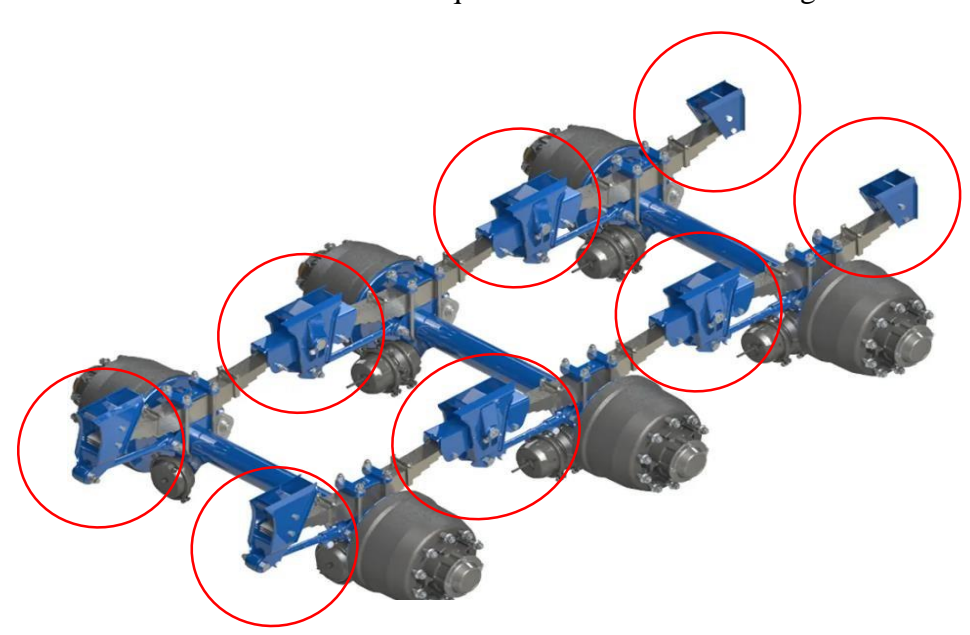


Figura 15: Kit de suspensão de um semirreboque

Fonte: Dinatec (2022).

O kit de suspensão apresentado na figura 15 é um dos conjuntos que compõem o rodado do semirreboque, sendo este responsável por absorver parte dos esforços gerados pela aplicação de carga na estrutura.

Ainda com o objetivo de simplificar o modelo para a simulação, a estrutura do pescoço não será incluída nesta simulação, ao invés disso, será incluído dois pontos de apoio na estrutura afim de representar a ligação do pescoço com as longarinas principais do chassi do semirreboque, como indicado na figura 16.

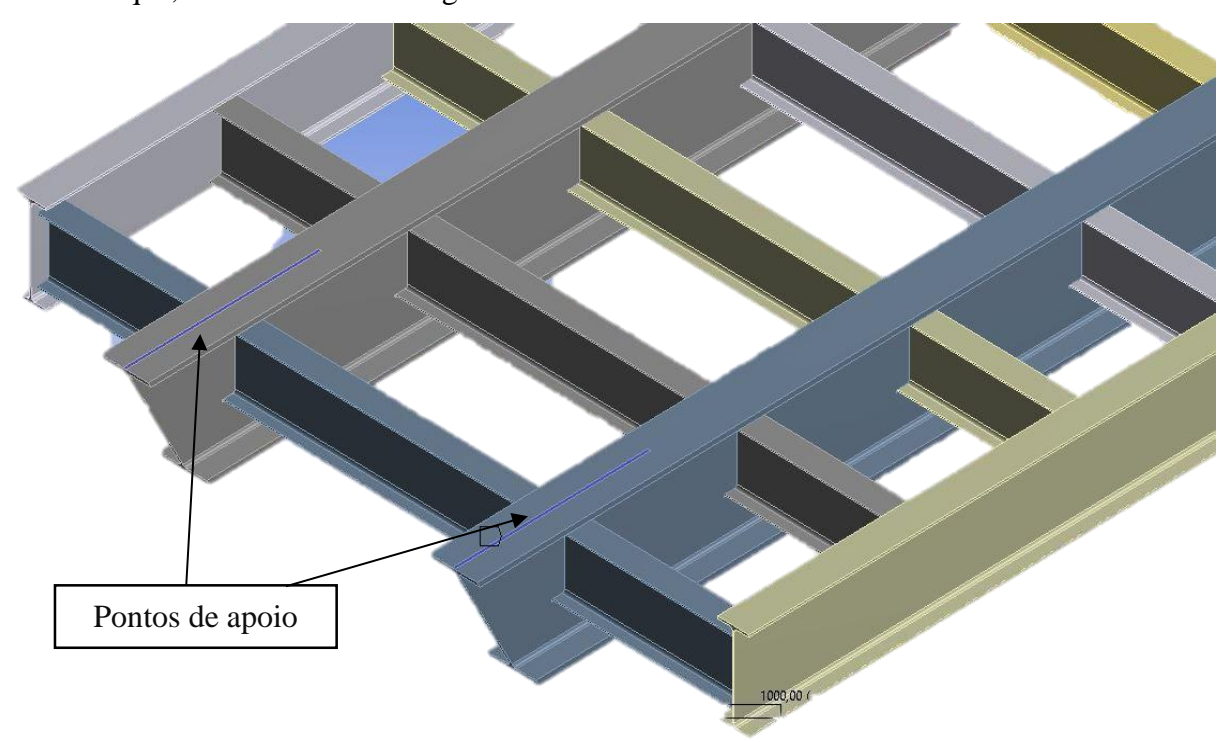


Figura 16: Pontos de apoio da estrutura dentro do ambiente de simulação

Fonte: Autoria própria (2022).

Após definir os pontos de apoio da estrutura são inseridas as cargas como previamente definido. A região em vermelho visto na figura 14, representa a zona de aplicação de carga, assim como já previamente referido também na figura 10.

Deste modo, o software vai utilizar os pontos de apoio e as zonas de aplicação de força definidas para executar a simulação da estrutura, de maneira a representar tal situação sem que haja a necessidade de fabrica-la e executa-la em um protótipo para obter resultados confiáveis, o que representa uma economia no modo em que a estrutura é avaliada para sua posterior fabricação em série.

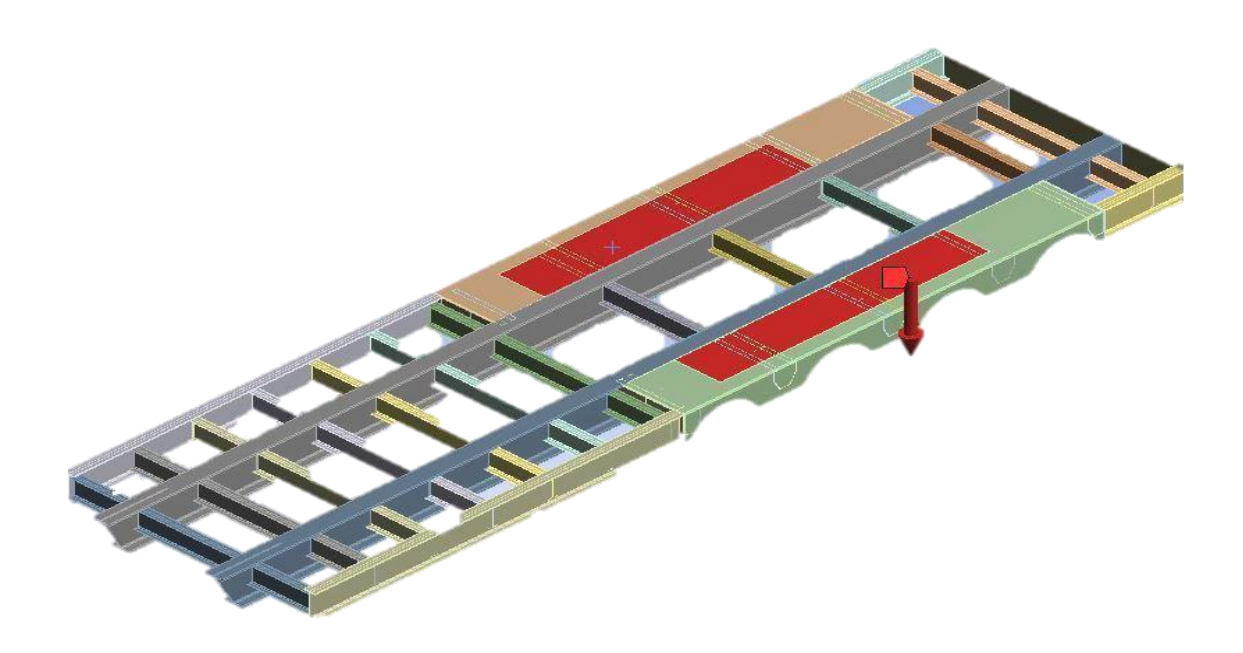


Figura 17: Região de aplicação de carga no semirreboque no ambiente de simulação

Fonte: Autoria própria (2022).

Com a definição das cargas, é gerado a malha da estrutura. Nesta etapa a estrutura é subdividida em elementos interligados por nós, como é possível observar na figura 18.

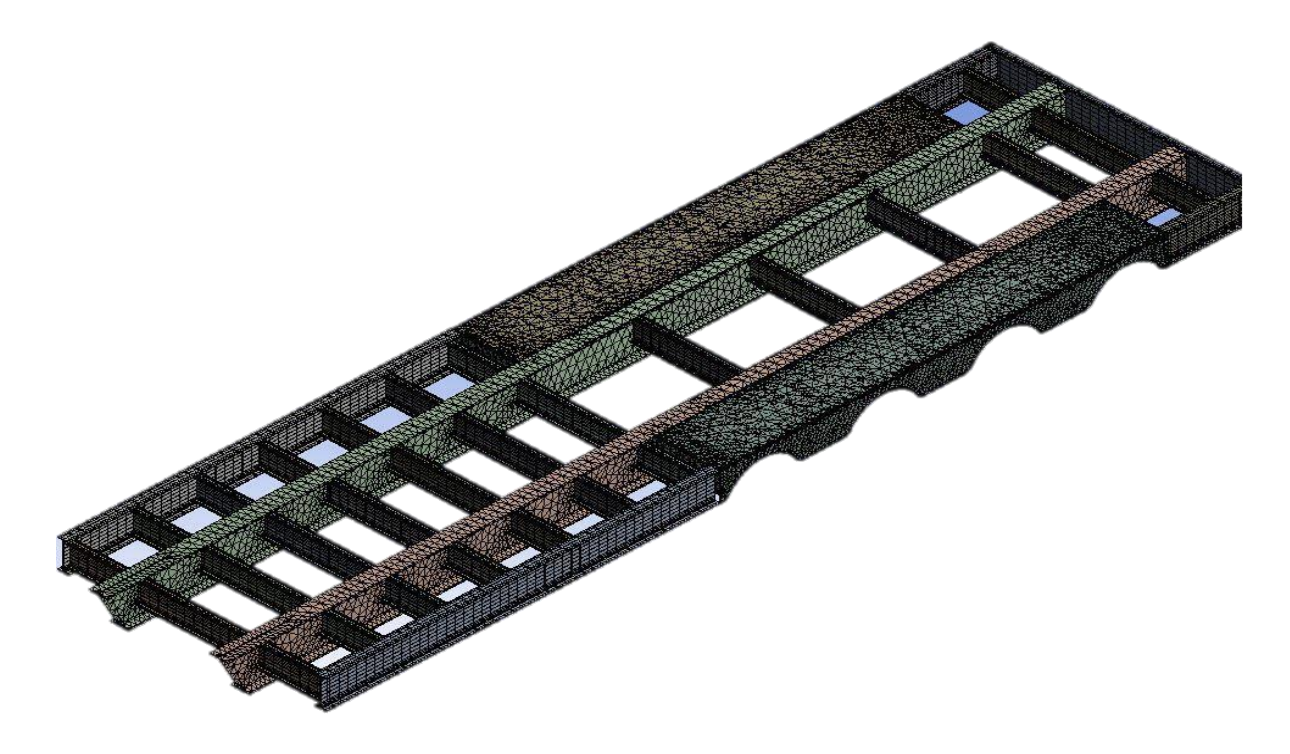


Figura 18: Malha gerada a partir da estrutura do semirreboque

Fonte: Autoria própria (2022).

A figura 18 mostra a estrutura do semirreboque transformada em malha. Deste modo, toda a estrutura foi dividida em elementos e nós. Com a geração desses elementos, será possível que o software efetue todos os cálculos necessários para a avaliação da estrutura diante a aplicação da carga determinada, definindo como cada um dos pontos presentes na estrutura se comportam. Sendo assim, é possível executar o software para que sejam apresentados os resultados para a posterior análise.

4. RESULTADOS E ANÁLISES

Para a análise dos resultados, foi escolhido o critério de deformação total da estrutura em milímetros. Desta forma, é possível avaliar a condição da estrutura para o carregamento deste ensaio. A figura 19 e as demais figuras apresentadas nesta seção, apresentam o resultado de uma análise global da estrutura do semirreboque, utilizando a carga prevista para a simulação.

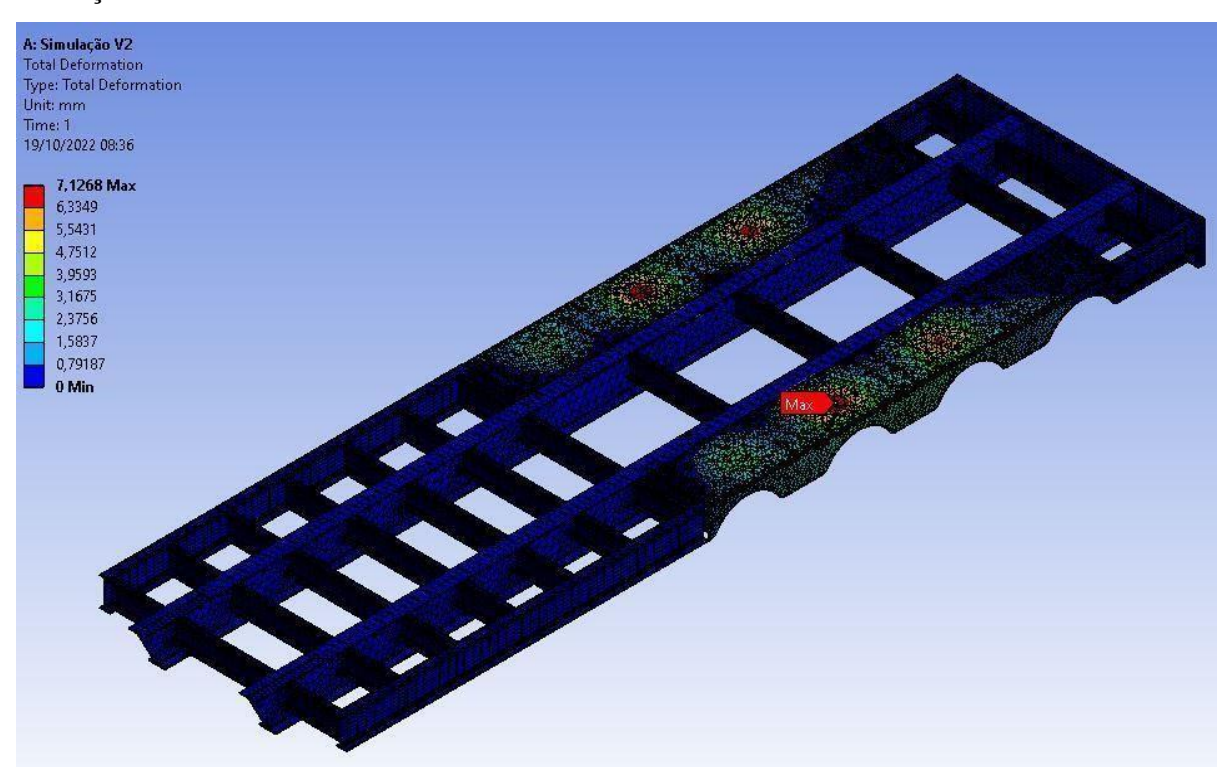


Figura 19: Análise global da simulação da estrutura sem reforços estruturais

Fonte: Autoria própria (2022).

A figura 19 apresenta o resultado da simulação da estrutura do semirreboque sem reforços estruturais que obteve uma deformação máxima de 7 milímetros. O software apresenta o fluxo de deformação na estrutura através de uma palheta de cores, onde as regiões nas quais se predomina a cor azul escuro, são partes de menor deformação. Enquanto as regiões em vermelho, apresentaram as maiores deformações.

O resultado desta simulação evidenciou que a maior parte da estrutura se mantém rígida e com pouca deformação. Porém, na investigação realizada, é possível observar que a força não é distribuída de forma igualitária em toda a estrutura e por esta razão, as regiões na qual a carga está sendo aplicada diretamente tendem a sofrer uma deformação mais acentuada.

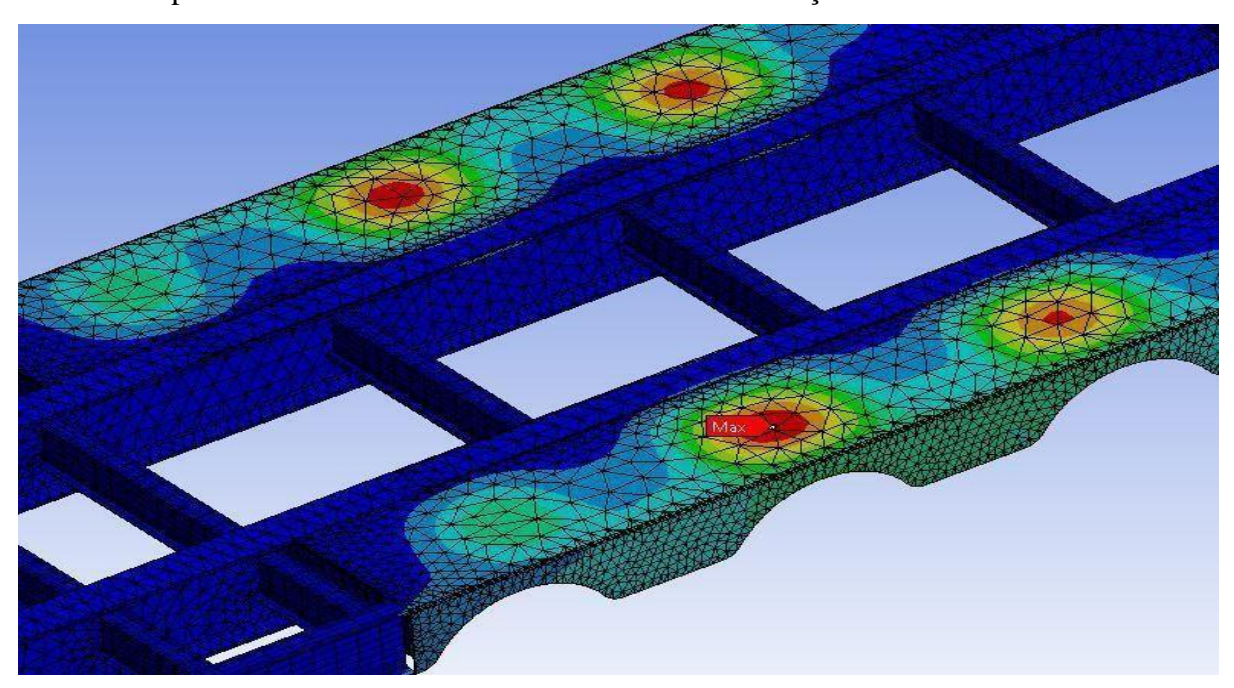


Figura 20: Fluxo de tensão gerado pela aplicação da carga (Sem reforços estruturais)

Fonte: Autoria própria (2022).

Na figura 20 apresenta-se uma vista aproximada da estrutura presente na figura 19, na qual é possível visualizar com mais clareza o fluxo de deformação gerado na estrutura pela aplicação da carga, e nota-se que a região de maior deformação da estrutura se concentra no meio da área, local que a carga foi aplicada. Além disso, a parte que obteve a maior deformação é próxima ao lugar onde a estrutura foi engastada, como anteriormente evidenciado na figura 14. Por este motivo, esta área da estrutura fica sujeita a um momento fletor de maior intensidade.

Deste modo, utilizando os resultados desta simulação é possível também inferir a localidade da estrutura, na qual as introduções dos reforços estruturais são mais coerentes e condizentes com a carga que está sendo aplicada.

Na figura 21, apresenta-se o resultado da segunda simulação global da estrutura do semirreboque, mas desta vez, introduzindo elementos de reforço na estrutura compostos por perfis estruturais e perfis em chapa metálica. Neste estudo de caso, os reforços estruturais se comportam de maneira a representar o processo de soldagem para a sua ligação com a estrutura.

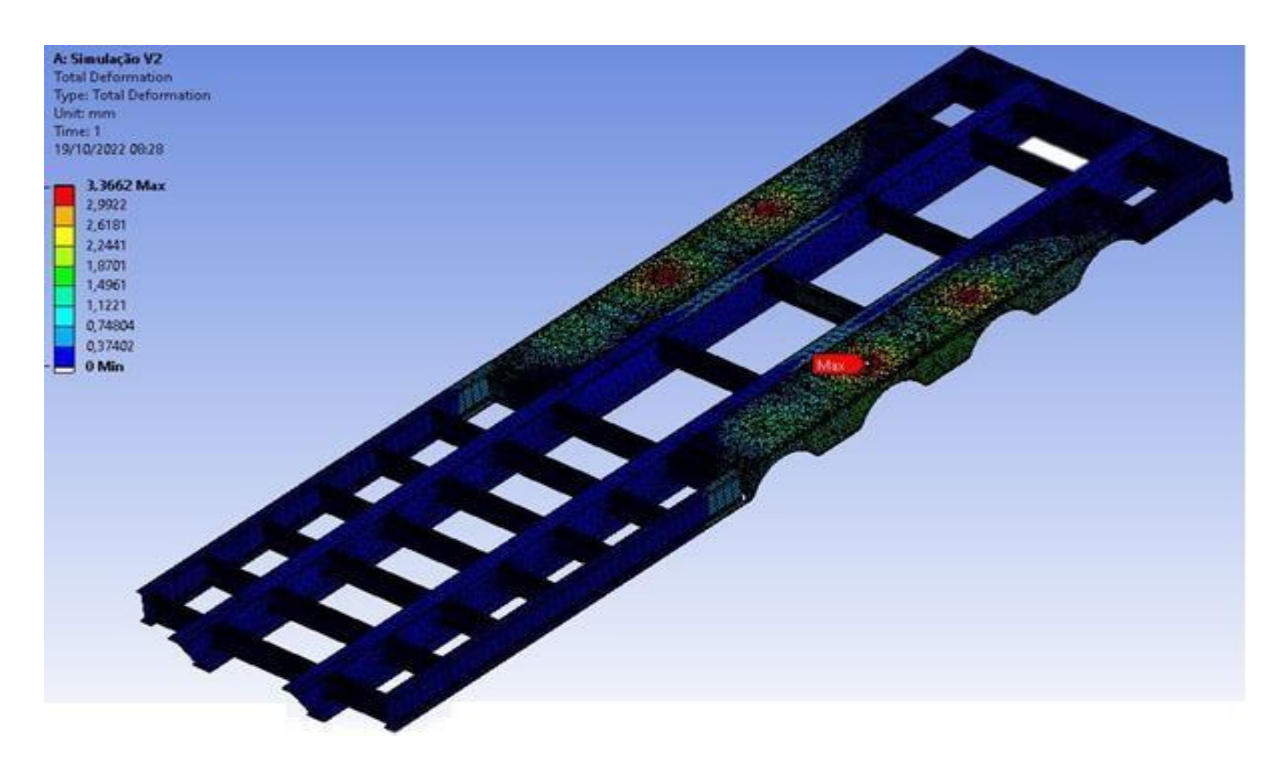


Figura 21: Análise global da simulação da estrutura com reforços estruturais

Fonte: Autoria própria (2022).

Apesar da aplicação dos reforços estruturais na estrutura, as regiões nas quais a deformação é mais acentuada continua sendo a mesma, entretanto, o grau de deformação é consideravelmente menor.

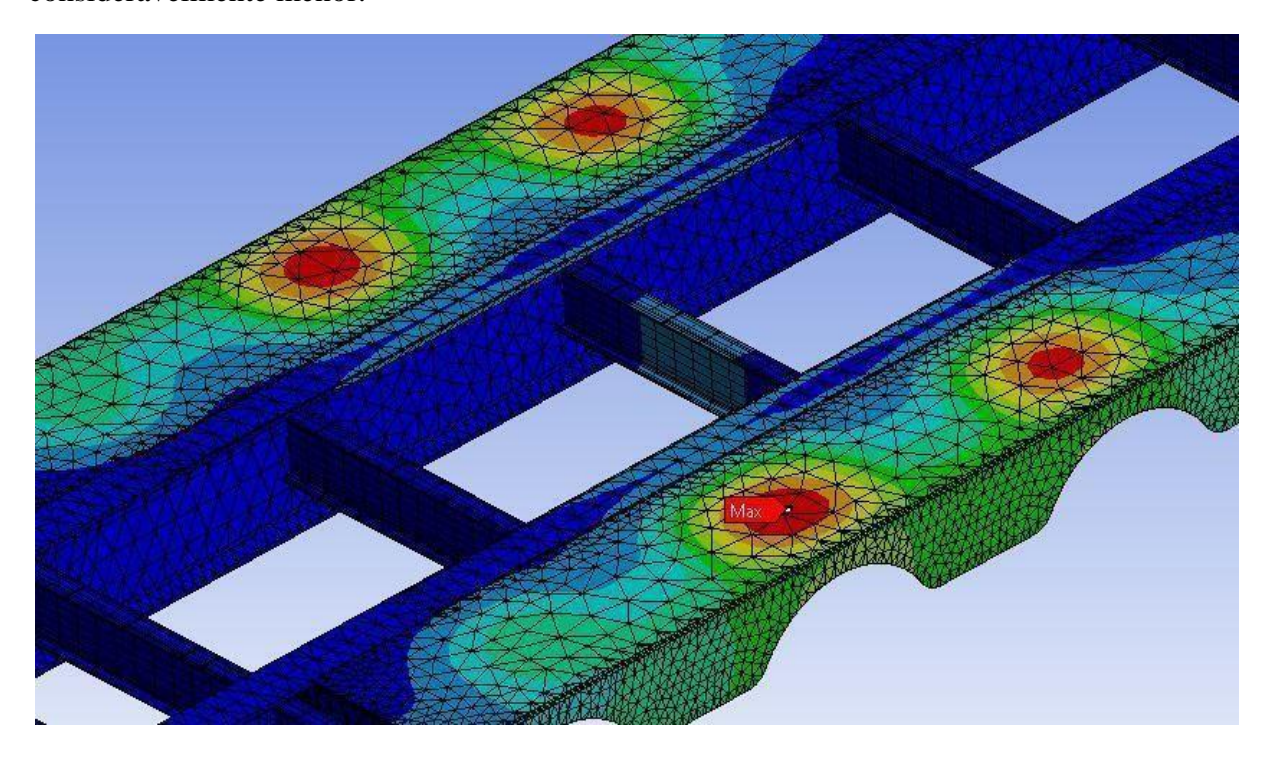


Figura 22: Fluxo de tensão gerado pela aplicação da carga (Com reforços estruturais).

Fonte: Autoria própria (2022).

A figura 22 mostra uma vista ampliada da simulação realizada na figura 21, que quando comparada com as figuras anteriores apresenta bastante semelhança no fluxo de deformação. Porém, comparando-se o grau de deformação experimentado na primeira para a segunda situação, notabiliza-se uma redução na deformação de 47% relacionando os valores apresentados na tabela 5.

Tabela 5: Resultado comparativo das simulações

Situação	Deformação	Unidade
Sem reforços estruturais	7,12	mm
Com reforços estruturais	3,36	mm

Fonte: Autoria própria (2022).

Desta forma, é possível evidenciar o ganho de rigidez na estrutura com a implementação de reforços estruturais, que quando introduzidos nas zonas de deformação apresentadas pelo resultado da simulação, diminuem significativamente a deformação. Porém, neste presente estudo, somente a introdução dos reforços não são o suficiente para anular a deformação da estrutura, sendo esta, uma tarefa complexa e fora do objetivo deste ensaio, sendo necessário uma nova avaliação da estrutura visando a diminuição da deformação causada pela carga aplicada, caso o objetivo dessa avaliação fosse obter o menor valor de deformação possível.

Entretanto, é importante dizer que para a obtenção de resultados mais acurados, é necessário um maior refinamento da malha da estrutura, o que exige um maior tempo computacional para a obtenção dos resultados, o que se evidenciou durante a pesquisa como um fator limitante para este estudo, já que o equipamento utilizado para gerar os resultados através do software não possui os requisitos necessários para simulações complexas.

5. CONCLUSÃO

Mediante as informações levantadas para este estudo de caso, buscou-se analisar a estrutura de um semirreboque de maneira que evidencie como a aplicação da carga prevista seria refletida na estrutura do semirreboque. Foram definidas a cargas e os pontos de engastamento na estrutura, com o objetivo de analisar os resultados obtidos por simulação feita no software Ansys em duas situações distintas para a estrutura.

Constatou-se que a aplicação de carga na estrutura gerou uma zona de fluxo de deformação na estrutura, acentuando-se nas regiões próximas do ponto de aplicação de carga e próxima aos pontos de engastamento. Com os resultados obtidos a partir da simulação, foi possível verificar uma diminuição de 47% na deformação na estrutura que apresentava reforços estruturais quando comparada com a estrutura sem reforços. Portanto, evidencia-se que a implementação de reforços estruturais contribuiu para a diminuição da deformação global da estrutura.

Com os resultados obtidos, foi possível demonstrar de forma breve a avaliação de uma estrutura de um semirreboque utilizando cargas de projeto, e como a implementação de reforços estruturais é capaz de fornecer maior rigidez a estrutura. E também, como este tipo de análise contribui para o desenvolvimento de planeamentos mais otimizados e confiáveis.

É importante também salientar sobre os benefícios da utilização de softwares de simulação em projetos, que como demonstrado neste trabalho, contribuem para que engenheiros e projetistas possam propor soluções mais confiáveis e acuradas.

O presente trabalho oportuniza outras pesquisas, deste modo sugere-se para futuras dissertações:

- I. Simulação para vida em fadiga do equipamento durante o seu período de serviço;
- II. Otimização estrutural do equipamento, evidenciando o quanto a estrutura pode ser otimizada mantendo a mesma integridade estrutural;
- III. Realizar um estudo comparando uma estrutura composta por perfis conformados a frio, e outra estrutura conformada a quente, evidenciando as vantagens e desvantagens de cada uma.

REFERÊNCIAS

ALTAIR, U. **Practical Aspects of Finite Element Simulation:** a study guide. 3. ed. 2015. 503 p.

ALVES, P. D. Estratégia global-local aplicada ao método dos elementos finitos generalizados. Dissertação de Mestrado — Universidade Federal De Minas Gerais - Belo Horizonte, 2012.

AZEVEDO, Álvaro F. M..**Método dos Elementos Finitos**.Porto: Faculdade de Engenharia da Universidade do Porto, 2003. 258 p.

BENNETT, S.; NORMAN, I. A. **Heavy Duty Truck Systems**. 5. ed. Delmar Cengage learning, 2011. 1301 p.

- CATERPILLAR. **Tratores**. Disponível em: https://www.cat.com/pt_BR/products/new/equipment/dozers.html>. Acesso em: 13 out. 2022.
- CNT Confederação nacional do transporte. Boletins. Brasília, DF: 2021. Disponível em: https://cnt.org.br/boletins. Acesso em: 17 set. 2022.
- CONTRAN. **Conselho Nacional de Trânsito**. Disponível em: http://www.denatran.gov.br/index.php/contran. Acesso em mai/2022.
- DINATEC, Peças e serviços. **Suspensão.** Disponível em: < https://www.dinatec.com.br/carreta/suspensao/>. Acesso em: 17 out. 2022.
- ESSS **Software Ansys**. Análise Estrutural. Florianópolis, SC. 2022. Disponível em: https://www.esss.co/ansys/analise-estrutural/. Acesso em: 27 out. 2022.
- GERDAU. **Catálogo Barras e Perfis Gerdau**. Disponível em:< https://www2.gerdau.com.br/blog-do-aco/publication-category/catalogos/? >. Acesso em: 10 de outubro de 2022.
- KÖHLER, L. L. Estudo de cargas em um semirreboque carrega tudo utilizando métodos numéricos e análise experimental. Trabalho De Conclusão De Curso (Bacharelado em Engenharia Automotiva). Universidade Federal De Santa Catarina Joinville, 2018.
- LEANDRO, V. M. Análise estrutural de um chassi de semirreboque pelo método de elementos finitos. Trabalho De Conclusão De Curso (Bacharelado em Engenharia Automotiva). Universidade Federal De Santa Catarina Joinville, 2019.
- LENA, E. Projeto de um reboque do tipo de engate quinta roda com análise por simulações computacionais e utilização de ferramenta de verificação de falhas. Trabalho De Conclusão De Curso (Bacharelado em Engenharia Mecânica). Universidade Tecnológica Federal do Paraná. Guarapuava, 2019.
- LIBRELATO. **Semirreboque Carrega tudo**. 2020. Disponível em: https://www.librelato.com.br/implementos/linha-carrega-tudo-7/semirreboque-carrega-tudoplano-9. Acesso em: 14 out. 2022.
- MACEDO, D. X. S. et al. Caracterização dos acidentes com máquinas agrícolas em rodovias federais no estado do Rio Grande do Sul. **Ciência Rural**, v. 45, n. 1, p. 43–46, 2015.
- MIRLISENNA, G. **Método dos Elementos Finitos: o que é?**. Blog ESSS, 2016. Disponível em: https://www.esss.co/blog/metodo-dos-elementos-finitos-o-que-e/>. Acesso em: 13 out. 2022.
- PEREIRA, R. Logística do transporte de cargas indivisíveis. **Revista Científica do UBM**, n. n.35, p. 171-189, 27 fev. 2022.
- PUC RIO. **O Método dos Elementos Finitos Aplicado a Análise Não-Linear**. Disponível em: < https://www.maxwell.vrac.puc-rio.br/3328/3328_4. Acessado 3 de setembro de 2022
- SANTOS, W. J. DOS. **Análise comparativa dos modais rodoviário e ferroviário: uma abordagem pela vida e a economia**. Trabalho De Conclusão De Curso (Bacharelado em Ciências Econômicas). Universidade Federal da grande Dourados UFGD Dourados/ MS, 2021. Disponível em: https://portal.ufgd.edu.br/setor/biblioteca/repositorio.